

## (554) 超強力マルエージ鋼の水素ガス中における遅れ破壊強さ

金属材料技術研究所

○河野義郎、宗不政一  
高橋順次

### 1 緒言

超強力マルエージ鋼は水素脆性に対する感受性が非常に高く、この欠点が実用化に対する大きな障害にならんでいる。そのため、著者らは組織調整と表面被覆処理の両面から水素脆化感受性の低減を目的とした研究を進めているが、その評価には水素ガス中で一定引張速度下における引張強さ、絞りすばたけ切欠引張強さを求めてきた。これらの特性による評価は各種合金的因子の影響を検討するには有効であるが、実用化を想定した場合には一定負荷応力下における破断時間、すなわち遅れ破壊強さに基づく評価が不可欠である。そこで、本研究は水素ガス環境中で遅れ破壊強さを求め、一定引張速度下での平滑及び切欠引張強さとの関係を検討した。

### 2 実験方法

供試材として、同じ目標組成の  $13Ni-15Cr-10Mo-0.2Ti$  鋼を用いた。これらは高周波真空溶解で 17.5kg 鋼塊に溶製し、 $1200^{\circ}\text{C}$ , 24 時間均質化処理後、30mm 角に圧延した。この素材を  $1250^{\circ}\text{C}$  で卷き化処理後引抜き  $\times 19$  の圧延により 11mm 角として、直ちに水中に焼入れた。

遅れ破壊試験には、平行部径 2.8mm の平滑試験片と平行部径 5mm、切欠底部径 3.5mm、 $K_t 3.5$  の円周切欠付試験片を用いた。これらは  $500^{\circ}\text{C}$  で 4 時間真空中で時効した。試験には自動負荷制御機器を備えたインストロン型試験機を用い、真空中で試験室内を試験水素ガス圧に保った後、 $5\text{mm/min}$  の引張速度で設定応力をまで負荷し、その応力を保持した。なお、破断時間は負荷応力に達した後の時間とした。

### 3 結果

図 1 は、 $2.2 \sim 100$  Torr 水素ガス中ににおける平滑試験片の遅れ破壊曲線を示した。これらの曲線の特徴は、破断する場合は極めて短時間で破断が生じ、ある応力以下では長時間保持しても破断しないくなる、すなわち一種の go-stop 試験の様相を呈することである。そのため、本実験でも最初 3000min の遅れ破壊強さを求める予定であつたが、長時間負荷してもあまり意味のないことがわかり 60min の遅れ破壊強さを求めた。切欠試験片の場合は、1 min 程度までの範囲では平滑試験片に較べてだらかの曲線を示すが、それ以上長時間側では平滑試験片と同様の挙動を示す。

図 2 は、 $0.1\text{mm/min}$  の引張速度下での平滑及び切欠引張強さと 60min 遅れ破壊強さとの関係を示した。両特性はかなり広範囲にわたって良好一致を示すが、切欠試験片では遅れ破壊強さの方がいくぶん小さくなる傾向がうかがわれる。

超強力マルエージ鋼が上記のような遅れ破壊挙動を示すのは、韌性 ( $K_{IC}$ ) が低く、しかつき裂の伝播速度が著しく速いため、破断寿命がき裂の発生に強く支配されるためと思われる。

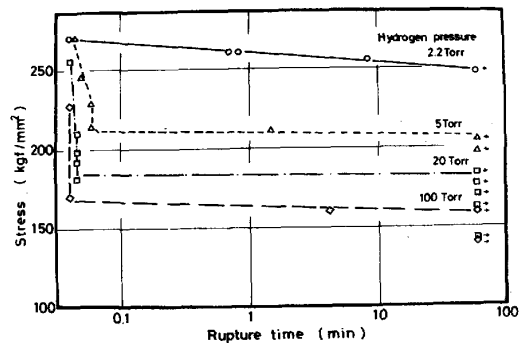


Fig. 1 Delayed fracture curves in hydrogen of A steel smooth specimen

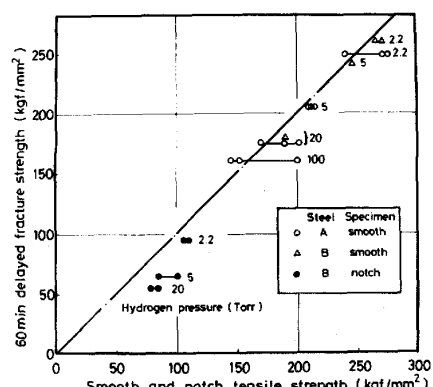


Fig. 2 Relation between delayed fracture strength and tensile strength in hydrogen